

УДК 621.391.266

Я. А. Фурман, И. Л. Егошина

*(Йошкар-Ола)*

### ОБРАБОТКА КОНТУРОВ ИЗОБРАЖЕНИЙ С ПРОТЯЖЕННЫМИ ПРЯМОЛИНЕЙНЫМИ ГРАНИЦАМИ

Рассмотрен процесс квантования на квадратной сетчатке протяженных прямолинейных границ изображения. Показано, что код проквантованной границы обладает свойством периодичности. Исследовано поведение ошибок квантования в зависимости от угла наклона границы и определены условия, при которых они достигают максимума и минимума. Синтезирован согласованный фильтр и показан процесс фильтрации кода проквантованной границы. Описаны возникающие при фильтрации резонансные явления, сопровождающиеся полным подавлением ошибок квантования.

**1. Введение и постановка задачи.** Объекты с протяженными прямолинейными границами чаще всего являются антропогенными. Это возделанные участки почвы, дороги, каналы, различные элементы конструкций машин и механизмов и др. Естественно, что изображения таких объектов представляют особый интерес при анализе сцены. В данной работе решается одна из важных задач, связанная с выделением границ таких объектов. Прямолинейный характер границы позволяет не только аналитическим путем сформировать описание границы, но и получить эффективные алгоритмы подавления ошибок квантования. Рассматривается следующая ситуация. Бинарное по яркости изображение объекта занесено в ЗУ с матричной организацией и квадратной формой пиксела. В его ячейках, относящихся к внутренним точкам изображения, записаны единицы, а в ячейках, относящихся к фону, — нули. В области границы фон/изображение в зависимости от степени перекрытия изображения с поверхностью соответствующего пиксела в ячейку ЗУ будет записан либо нуль, либо единица (рис. 1, *a*). Этот процесс назовем квантованием линии границы (контура) изображения.

Контурные ячейки, т. е. граничные пикселы, отнесенные к изображению, последовательно определяются по принципу четырехсвязности [1]. Центры этих ячеек соединяются векторами, называемыми элементарными (ЭВ). Последовательность ЭВ задает контур  $\Gamma = \{\gamma(t)\}_{0, z-1}$ , где  $t$  — порядковый номер ЭВ,  $t = 0, 1, \dots, z-1$  (рис. 1, *b*). ЭВ  $\gamma(t)$  будем рассматривать как комплексное число  $\gamma(t) = \gamma_1(t) + i\gamma_2(t)$ , принимающее одно из следующих восьми значений:  $1; 1 - i; -i; -1 - i; -1; -1 + i; i; 1 + i$  [2]. Например, фрагмент изображенного на рис. 1 контура записывается как  $\{1 + i; 1, 1, 1 + i; 1, 1, 1 + i; 1\}$ .

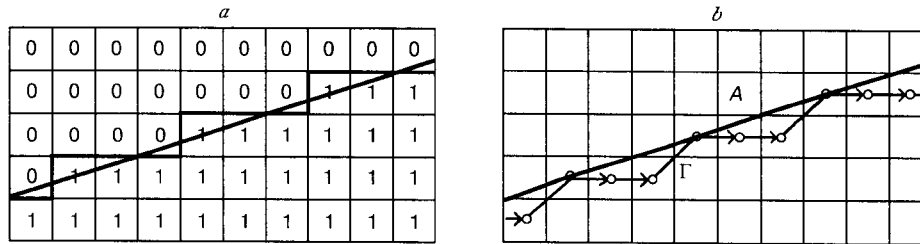


Рис. 1. Пример квантования прямолинейных границ на квадратной сетчатке:  $a$  – записанное в ЗУ бинарное цифровое изображение;  $b$  – исходная  $A$  и проквантованная  $\Gamma$  прямолинейные границы

Как показано в [2, 3], задание ЭВ в комплексном виде наиболее предпочтительно по сравнению с другими способами кодирования контуров, так как скалярное произведение двух векторов в пространстве  $C^k$  за счет своей мнимой части более информативно, чем скалярное произведение в пространстве  $E^{2k}$  [4]. Ошибки квантования зададим контуром  $\Psi = \{\psi(t)\}_{0, z-1}$ , определяемым из соотношения

$$\Gamma = A + \Psi, \quad (1)$$

где  $A = \{\alpha(t)\}_{0, z-1}$  – контур изображения до его ввода в ЗУ. Если граница прямолинейна, то ЭВ контура  $A$  представляют собой последовательность одинаковых комплексных чисел:  $\alpha = |\alpha| \exp\{i\varphi\}$ , где  $\varphi$  – угол наклона прямолинейной границы.

Примем для определенности, что в ячейку ЗУ заносится единица, если площадь изображения  $S_{из}$  в пределах пиксела не меньше половины площади пиксела, т. е.  $S_{из} \geq 0,5\Delta^2 = 0,5$ . Прямолинейный отрезок назовем полузакрепленным, если его начальная точка совпадает с углом клетки. Процесс квантования на сетчатке является цепочкой последовательных решений об обнаружении изображения в каждой граничной клетке. При этом часть граничных ячеек изображения будет отнесена к фону («пропуски»), а часть – к объекту. Как пропуски, так и правильные обнаружения контурных ячеек искажают форму изображения, что учитывается контуром  $\Psi$ . Детерминированный характер формы границы и последующая интерполяция обуславливают сильную коррелированность ошибок квантования и их зависимость от угла наклона  $\varphi$  линии границы. В связи с этим общепринятый подход к оценке влияния ошибок квантования [5, 6], при котором они считаются независимыми между собой и некоррелированными с сигналом, в рассматриваемом случае неприемлем.

Значение угла  $\varphi$  разобьем на восемь одинаковых секторов:  $u = 0, 1, 2, 3, 4, 5, 6, 7$ . Для нулевого сектора, который назовем базовым,  $0 \leq \varphi < \pi/4$ . Без значительной потери в общности результатов дальнейший анализ будем проводить лишь для этого сектора. На рис. 2 показано несколько взаимных положений прямолинейной границы и клетки сетчатки. Из центра нижней стороны клетки (точка  $F$ ) проведен перпендикуляр до пересечения с линией границы – зонд  $\Delta h$ . Для случая на рис. 2,  $a$  площадь изображения в пределах квадрата равна  $S_{из} = -0,5k + b = \Delta h$ , где  $b = AC$ ,  $k = \text{tg}\varphi$ . Отсюда следует, что условие  $S_{из} \geq 0,5\Delta^2$  эквивалентно условию  $\Delta h \geq 0,5$ . Это условие сохраняется и для случая, приведенного на рис. 2,  $b$ . Таким образом, клетка сетчатки отно-

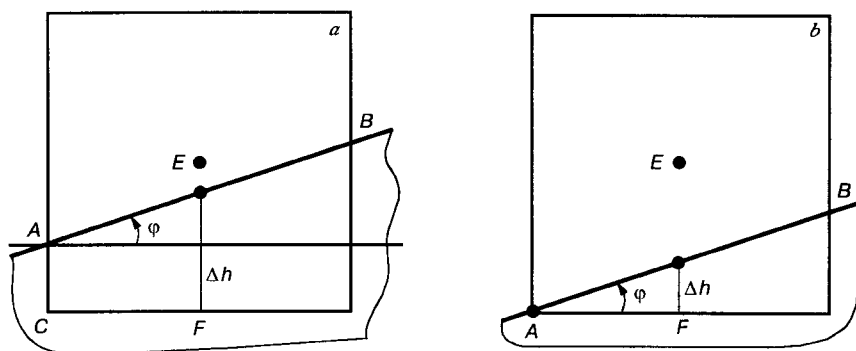


Рис. 2. Взаимные положения прямолинейной границы и клетки сетчатки

сится к изображению, если длина зонда составляет не менее половины длины стороны клетки.

В данной работе на основе анализа дискретной цепи Маркова, описывающей процесс квантования, решаются задачи получения аналитическим путем цепного кода  $\Gamma = \{\gamma(t)\}$  границы, оценки влияния угла наклона  $\varphi$  линии границы на процесс квантования, а также уменьшения и полного подавления ошибок квантования.

**2. Квантование границы, проходящей через базовый сектор.** Под шагом квантования будем понимать действие по формированию контурной клетки в пределах одной колонки сетчатки. Приращение ординаты  $\Delta y$  границы за один шаг в пределах базового сектора  $\Delta y = k = \text{tg}\varphi$ , а максимальное приращение  $\Delta y_{\text{max}} \leq 1$ . Поэтому за один шаг прямая может пройти не более чем через две соседние вертикально расположенные клетки (рис. 3). Максимально возможное значение зонда в верхней клетке, равное 0,5, достигается лишь для полужакопленной границы при  $\varphi = \pi/4$ . Поэтому при пересечении границей двух соседних вертикально расположенных клеток площадь изображения в верхней клетке меньше, а в нижней больше 0,5. В результате нижняя клетка будет отнесена к изображению, а верхняя – к фону. Отсюда следует, что за один шаг квантования возможно появление только одной контурной клетки. Поскольку  $k \geq 0$ , то с ростом числа шагов квантования площадь под линией границы не уменьшается и в коде границы могут присутствовать только элементы вида  $1, 1 + i, i$ . Элемент  $i$  приводит к появлению за один шаг двух клеток, относящихся к изображению, что невозможно. Поэтому в базовом секторе код прямолинейной границы изображения содержит только два элемента:  $1$  и  $1 + i$ .

Рассмотрим вопрос о структуре кода. Приращение ординаты границы за один шаг равно  $\Delta y = k = \text{tg}\varphi$ . Пусть величина  $n/k$  – точно целое число. Если прямая полужакоплена, то через  $\frac{n}{k} = \frac{n}{\Delta y}$  шагов она снова пройдет через узел сет-

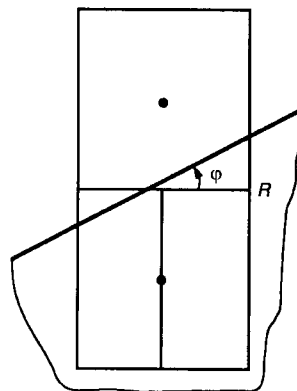


Рис. 3. Прохождение прямолинейной границы через соседние вертикально расположенные клетки

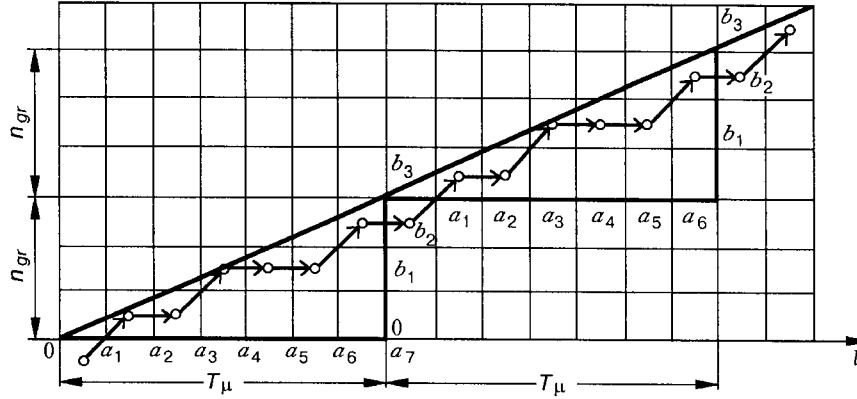


Рис. 4. Образование периодической структуры цепного кода прямолинейной границы  
( $k = 3/7$ ,  $T_\mu = 7$ ,  $n_{gr} = 3$ )

чатки. Пусть, далее,  $n_{gr}$  – значение  $n$ , при котором получается минимальное целое число  $T_\mu = n_{gr}/k$ . Число шагов квантования, равное  $T_\mu$ , является периодом последовательности элементов кода проквантованного отрезка (рис. 4), т. е.  $\gamma(t) = \gamma(t + aT_\mu)$ ,  $a = 0, 1, 2, \dots$ . Здесь и далее  $a$  – целочисленная константа.

Таким образом, код прямолинейной границы изображения в базовом секторе является периодической последовательностью комплексных чисел  $1$  и  $1 + i$  с периодом в  $T_\mu$  элементов, задаваемым величиной тангенса угла наклона прямой  $k = n_{gr}/T_\mu$ , где  $n_{gr}$  и  $T_\mu$  – взаимно простые числа. Величина  $n_{gr} = kT_\mu$  равна количеству элементов  $1 + i$  в одном периоде кода границы.

Внутри интервала  $T_\mu$  имеются квазипериодические группы элементов кода границы. Поэтому величину  $T_\mu$  назовем макропериодом кода. Количество элементов в группе и сами значения этих элементов зависят от предистории процесса квантования. Так как данный процесс детерминирован, то следует ожидать, что он будет описан вырожденной цепью Маркова. В этой цепи вероятности переходов равны либо нулю, либо единице, а матрица вероятностей переходов будет перестановочной [7]. В работах [8, 9] описана такая цепь, осуществлен спектральный анализ ее матрицы вероятностей переходов и получено следующее выражение для  $j$ -й компоненты вероятностного вектора на  $t$ -м шаге квантования при начале процесса из состояния  $\rho$ :

$$\pi_j^{(\rho)}(t) = \frac{1}{T_\mu} \sum_{v=1}^{T_\mu} \varepsilon^{v(ct + j - \rho)} = \begin{cases} 1 & \text{при } ct + j - \rho = aT_\mu; \quad c = T_\mu - n_{gr}; \\ 0 & \text{в противном случае.} \end{cases} \quad (2)$$

Часть состояний цепи образует подмножество  $\Omega_{1+i}$ , при попадании в которое формируется элемент кода  $\gamma = 1 + i$ . В других состояниях цепи код границы равен  $\gamma = 1$ . Первое состояние  $j_0$  подмножества  $\Omega_{1+i}$  равно [8]

$$j_0 = E\left(\frac{T_\mu}{2}\right) + \frac{1 + (-1)^{n_{gr}}}{2}, \quad (3)$$

где  $E(l)$  – ближайшее целое к числу  $l$ , не меньшее чем  $l$ . Подмножество  $\Omega_{1+i}$  включает подряд  $n_{gr}$  состояний цепи (от  $j_0$  до  $j_0 + n_{gr} - 1$ ). Тогда выражение

для элемента кода проквантованной границы на  $t$ -м шаге при начале процесса из состояния  $\rho$  с учетом (2) и (3) будет иметь вид

$$\gamma^{(\rho)}(t) = 1 + iP_{1+i}^{(\rho)}(t). \quad (4)$$

Здесь

$$P_{1+i}^{(\rho)}(t) = \sum_{j=j_0}^{j_0+n_{gr}-1} \pi_j^{(\rho)}(t) = \frac{1}{T_\mu} \sum_{j=j_0}^{j_0+n_{gr}-1} \sum_{v=1}^{T_\mu} \varepsilon^{v(ct+j-\rho)}. \quad (5)$$

В выражении (5) параметры  $j$  и  $\rho$ , характеризующие соответственно сдвиг изображения в плоскости квадратной сетчатки и начало отсчета кода, одинаково влияют в конечном счете на величину  $\gamma(t)$ . В связи с этим можно сформулировать эргодическое свойство, в соответствии с которым код границы после сдвига изображения может быть найден путем смещения элементов кода любой проквантованной реализации.

Участок проквантованной границы из  $T_\mu$  элементов назовем репрезентативным. Такой участок, полученный при начальном состоянии  $\rho$ , обозначим как  $\Gamma^{(\rho)} = \{\gamma^{(\rho)}(t)\}_{0, T_\mu-1}$ . Модель (1) проквантованной границы запишется в виде  $\Gamma^{(\rho)} = A + \Psi^{(\rho)}$ ,  $A = \{\alpha(t)\}_{0, T_\mu-1}$ ,  $\Psi^{(\rho)} = \{\psi^{(\rho)}(t)\}_{0, T_\mu-1}$ ,  $\rho = 1, 2, \dots, T_\mu$ . Для составляющих данной модели в пределах базового сектора получим

$$\begin{aligned} \sum_{t=1}^{T_\mu} \gamma^{(\rho)}(t) &= T_\mu(1+k); & \sum_{t=1}^{T_\mu} \alpha(t) &= T_\mu(1+k); & \sum_{t=1}^{T_\mu} \psi^{(\rho)}(t) &= 0; \\ \|\Gamma^{(\rho)}\|^2 &= T_\mu(1+k); & \|A\|^2 &= T_\mu(1+k^2); & \|\Psi^{(\rho)}\|^2 &= T_\mu(k-k^2). \end{aligned} \quad (6)$$

Отметим, что данные выражения сохраняют свой вид при любом значении  $\rho$ , т. е. не зависят от сдвига начальной точки контура. При масштабировании угол поворота рассматриваемого участка границы не меняется, а также сохраняется положение его начальной точки. Преобразование приводит лишь к изменению количества ЭВ, составляющих прямолинейную границу. Условие репрезентативности обеспечивает постоянство значений ЭВ проквантованной границы в пределах макропериода. Отсюда следует, что код репрезентативного участка границы при масштабировании не изменяется.

Для оценки влияния на уровень ошибок квантования угла поворота изображения и сдвига начальной точки проквантованного участка его контура рассмотрим основные соотношения при согласованной фильтрации прямолинейной границы.

Контурный фильтр, согласованный с линией границы, вырабатывает меру схожести фильтруемого участка границы до и после квантования. Чем больше величина этой меры, тем меньше влияние на конфигурацию линии оказывает процесс квантования и тем меньше уровень ошибок. Контур импульсной характеристики такого фильтра имеет вид [3]:

$$\Lambda = \{\lambda(n)\}_{1, T_\mu} = \{\alpha^*(n)\}_{1, T_\mu} = \{1 - ki\}_{1, T_\mu},$$

т. е. все ЭВ контура одинаковы и равны  $1 - ki$ . Нормированный выходной эффект фильтра с учетом (6)

$$\eta_N(m) = \frac{1}{\|A\| \|\Gamma^{(p)}\|} \sum_{t=1}^{T_\mu} \gamma^{(p)}(t)(1 - ki) = \frac{\|A\|}{\|\Gamma^{(p)}\|} = \sqrt{\frac{1 + k^2}{1 + k}}. \quad (7)$$

Из полученного выражения видно, что результат фильтрации определяется лишь тангенсом угла наклона  $\varphi$  границы. Влияние величины этого угла на уровень ошибок квантования можно оценить по нормированной реакции фильтра, задаваемой выражением (7). При  $k = 0$  и  $k = 1$  величина  $\eta_N = 1$ , т. е.  $A$  и  $\Gamma^{(p)}$  максимально схожи между собой. Это значит, что при углах поворота  $\varphi = 0$  и  $\varphi = \pi/4$  ошибки квантования равны нулю. Анализ последнего выражения в (7) показывает, что величина  $\eta_N$  имеет при  $k = 0,414$  ( $\varphi = 22,48^\circ$ ) минимум, равный 0,91 (рис. 5) [10]. Таким образом, уровень ошибок квантования становится максимальным, когда линия границы проходит под углом  $\varphi = 22,48^\circ$ .

**3. Подавление ошибок квантования репрезентативного участка границы.** Условие полного подавления ошибок квантования. Скалярное произведение векторов  $A$  и  $\Gamma^{(p)}$  границы до и после квантования равно  $(A, \Gamma^{(p)}) = (A, A + \Psi^{(p)}) = (A, A) + (A, \Psi^{(p)})$ . Второе слагаемое с учетом (6) запишется как  $(A, \Psi^{(p)}) = (1 + ki) \sum_{t=1}^{T_\mu} \psi(t) = 0$ , поэтому  $(A, \Gamma^{(p)}) = (A, A) = \|A\|^2 = T_\mu (1 + k^2)$ .

Так как работа согласованного фильтра сводится к образованию отсчетов в виде набора скалярных произведений вектора фильтруемого сигнала с вектором импульсной характеристики, из полученного соотношения следует, что результаты фильтрации репрезентативного участка границы до и после квантования одинаковы. Следовательно, согласованный фильтр с импульсной характеристикой  $\Lambda = \{\alpha^*(n)\}_{1, T_\mu} = \{1 - ki\}_{1, T_\mu}$ , т. е. с окном шириной  $s = T_\mu$ , при фильтрации подобных участков производит полное подавление ошибок квантования:  $\eta(t) = \sum_{t=1}^{T_\mu} \gamma^{(p)}(t)(1 - ki) = T_\mu (1 + ki)(1 - ki) = \|A\|^2$ .

*Расчет коэффициента подавления ошибок квантования.* Зададим коэффициент подавления ошибок квантования в виде  $r_s = G_A / G_h(s)$ , где  $G_A$  – энергия сигнала;  $G_h$  – энергия вектора ошибок квантования  $\Psi^{(p)}$ . Обработка

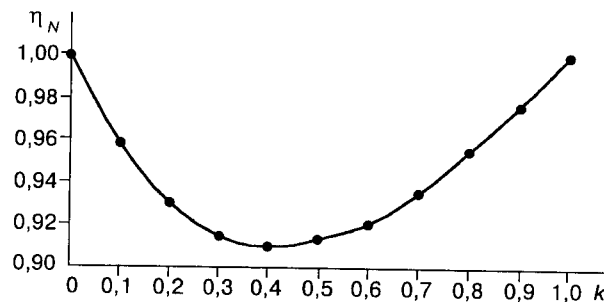


Рис. 5. Зависимость меры схожести прямолинейной границы до и после квантования от тангенса угла ее наклона

заключается либо в формировании среднего арифметического  $s$  участков границы  $\Gamma^{(p)}$ ,  $p = 1, 2, \dots, s$ , либо в соответствии со свойством эргодичности в скользящем суммировании ЭВ границы в окне из  $s$  элементов на  $T_\mu$  шагах. Подставляя в выражение для коэффициента подавления  $r_s$  в качестве числителя выражение (6), а знаменателя – выражение (П2.3) (см. приложение 2), имеем

$$r_s = \frac{s^2 T_\mu (1 + k^2)}{2 \sum_{\tau=1}^{s-1} \tau \eta(s - \tau) + s k T_\mu (1 - ks)}. \quad (8)$$

Приведем полученные с помощью прямого представления для АКФ (см. таблицу в приложении 1) формулы расчета коэффициента  $r_s$  для значений  $s = 1, 2, 3, 4$ :

$$s = 1: r_1 = (1 + k^2)/(k - k^2) \quad \text{при } 0 \leq k \leq 0,5;$$

$$s = 2: r_2 = (1 + k^2)/(0,5k - k^2) \quad \text{при } 0 \leq k \leq 0,5;$$

$$s = 3: r_3 = \begin{cases} 1 + k^2/0,33k - k^2 & \text{при } 0 \leq k \leq 0,33; \\ 1 + k^2/k - k^2 - 2/9 & \text{при } 0,33 < k \leq 0,5; \end{cases}$$

$$s = 4: r_4 = \begin{cases} 1 + k^2/0,25k - k^2 & \text{при } 0 \leq k \leq 0,25; \\ 1 + k^2/0,75k - k^2 - 1/8 & \text{при } 0,25 < k \leq 0,5. \end{cases}$$

На рис. 6 представлены рассчитанные по этим формулам графики зависимостей  $r_s(k)$ . Из них видно, что коэффициент подавления сильно зависит от величины  $k = \text{tg}\varphi$ . В области малых значений  $k$ ,  $0 \leq k \leq 1/s$ , выигрыш от накопления  $s$  реализаций приблизительно равен  $s/k$ , т. е. пропорционален количеству накопленных реализаций. Для одной проквантованной реализации коэффициент  $r$  растет с уменьшением  $k$ . Накопление двух реализаций целесообразно при значениях  $k$ , близких к 0,5, т. е. когда величина  $r$  стремится к бесконечности. Накопление трех реализаций целесообразно при значениях

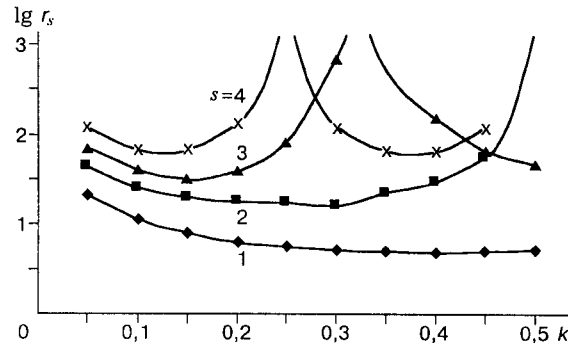


Рис. 6. Зависимость логарифма коэффициента подавления ошибок квантования репрезентативных участков границы от величины  $k$  при фильтрации скользящего среднего с окном шириной  $s$

$k$ , близких к 0,33. В этих случаях коэффициент подавления стремится к бесконечности. Графики на рисунке иллюстрируют резонансный характер накопления  $s$  репрезентативных реализаций проквантованной границы или в соответствии с принципом эргодичности при фильтрации скользящего среднего одной реализации проквантованной границы с окном шириной  $s$ . В общем случае из анализа выражения (8) можно показать, что при  $k = 1/s$  коэффициент подавления ошибок квантования стремится к бесконечности.

**4. Ошибки квантования в отрезках границы произвольной длины.** Энергия отрезка кода  $\Gamma^{(p)}$  длиной  $\ell$  с учетом (4) и (5) равна

$$G_{\ell}^{(p)} = \|\Gamma^{(p)}\|^2 = \sum_{t=1}^{\ell} \left| 1 + \frac{i}{T_{\mu}} \sum_{j=j_0}^{j_0+n_{gr}-1} \sum_{v=1}^{T_{\mu}} \exp\left\{i \frac{2\pi}{T_{\mu}} v(ct+j-\rho)\right\} \right|^2.$$

Раскрывая данное выражение, получим, что  $G_{\ell}^{(p)} = \ell + F^{(p)}(\ell)$ , где

$$F^{(p)}(\ell) = \sum_{t=1}^{\ell} \sum_{j=j_0}^{j_0+n_{gr}-1} \sum_{v=1}^{T_{\mu}} \exp\left\{i \frac{2\pi}{T_{\mu}} v(ct+j-\rho)\right\}. \quad (9)$$

Найдем отношение  $r_1^{(p)}(\ell)$  энергий  $\|A_{\ell}\|^2 = \ell(1+k^2)$  исходной границы  $A$  и энергии  $G_{h,\ell}^{(p)}(\ell)$  ошибок ее квантования. В общем случае энергия ошибок квантования равна

$$G_{h,\ell}^{(p)} = (\Gamma_{\ell}^{(p)} - A_{\ell}, \Gamma_{\ell}^{(p)} - A_{\ell}) = \|\Gamma_{\ell}^{(p)}\|^2 + \|A_{\ell}\|^2 - 2\text{Re}(\Gamma^{(p)}, A_{\ell}).$$

Для реальной части скалярного произведения, используя (4), (5) и (9), получим  $\text{Re}(\Gamma_{\ell}^{(p)} - A_{\ell}) = \ell + kF^{(p)}(\ell)$ . Теперь для коэффициента  $r_1^{(p)}(\ell)$  можно записать:

$$r_1^{(p)}(\ell) = \frac{\|A_{\ell}\|^2}{G_{h,\ell}^{(p)}} = \frac{\ell(1+k^2)}{\ell k^2 + (1-2k)F^{(p)}(\ell)}. \quad (10)$$

Проведем анализ данного выражения, учитывая, что значение функции  $F^{(p)}(\ell)$  равно количеству ЭВ  $\gamma = 1 + i$  в цепном коде границы за  $\ell$  шагов.

*Влияние начального состояния  $\rho$  (сдвига начала кода).* Величина  $\rho$  задает момент включения второго слагаемого в знаменателе выражения (10). Влияние начального состояния будет сказываться на интервале длительностью  $1/k$ , в течение которого обязательно появится один ЭВ  $\gamma = 1 + i$ . При этом коэффициент  $r_1^{(p)}(\ell)$  будет меняться в пределах от  $(1+k^2)/(1+k^2-2k)$  до  $(1+k^2)/k^2$ .

*Влияние поворота изображения.* При малых значениях  $k$  до появления первого ЭВ  $\gamma = 1 + i$  коэффициент  $r_1^{(p)}(\ell) \approx 1/k^2$ , а затем происходит резкое уменьшение этого коэффициента за счет того, что знаменатель становится близким к единице. В результате  $r_1^{(p)}(\ell) \approx \ell$ . При  $k$ , близком к 0,5, величина  $1-2k$  в знаменателе становится очень малой и  $r_1(\ell) \approx 5$ , т. е. исчезает его зависимость как от угла наклона  $\phi$ , так и от начального состояния  $\rho$ .



*Влияние длины отрезка кода.* При  $\ell = aT_\mu$  величина  $F^{(p)}(\ell)$  перестает зависеть от начального состояния и равна  $akT_\mu$ , а выражение (10) принимает вид  $r_1(aT_\mu) = (1+k^2)/(k-k^2)$ ,  $a=1,2,\dots$ . При  $\ell \gg kT_\mu^2$  функция  $F^{(p)}(\ell)$  приближенно становится равной  $\ell k$  и  $r_1(\ell) \approx (1+k^2)/(k-k^2)$ . Таким образом, при  $\ell \gg kT_\mu^2$  коэффициент  $r_1(\ell)$  стабилизируется и определяется значением при  $\ell = T_\mu$ . При этом, как и следовало ожидать, исчезает зависимость от начального состояния  $\rho$ . Минимальное значение  $r_1 = 4,83$  достигается при  $k = 0,414$  ( $\varphi = 22,48^\circ$ ).

**5. Ошибки квантования на выходе согласованного фильтра.** *Основные соотношения.* Фильтр, согласованный с прямолинейным отрезком границы длиной  $\ell$ , производит, как следует из (7), равновесное суммирование элементов кода проквантованной границы:

$$\eta^{(p)}(\ell) = (1-ki) \sum_{t=1}^{\ell} \gamma^{(p)}(t). \quad (11)$$

Учитывая, что  $\gamma^{(p)}(t) = \alpha + \psi^{(p)}(t)$ , а также выражения (4) и (5), найдем реакцию фильтров  $\eta_A(\ell)$  и  $\eta_\Psi(\ell)$  соответственно на сигналы в виде исходной границы  $A = \{\alpha\}_{1,\ell}$  и ошибок ее квантования  $\Psi^{(p)} = \{\psi^{(p)}(t)\}_{1,\ell}$ :

$$\eta_A = G_{A,\ell} = \ell(1+k^2); \quad \eta_\Psi(\ell) = (k+i)[F^{(p)}(\ell) - \ell k]. \quad (12)$$

На основании (12) отношение сигнал/помеха по энергии на выходе фильтра будет равно

$$r_2^{(p)}(\ell) = \ell^2(1+k^2)/[F^{(p)}(\ell) - \ell k]^2. \quad (13)$$

Функция  $F^{(p)}(\ell) - \ell k$  имеет период  $\ell = T_\mu$ . Это следует из того, что количество элементарных векторов  $\gamma = 1+i$  на отрезке с периодом  $T_\mu$  и длиной  $\ell$  равно  $F^{(p)}(\ell)$ , а  $\ell k$  есть среднее число данных векторов за это же число шагов. Следствием периодического характера этой функции является возможность ее представления через главные значения на интервале  $\ell = 1, 2, \dots, T_\mu$ :

$$F^{(p)}(\ell) - \ell k = F^{(p)}(L) - Lk, \quad (14)$$

где  $L$  – числитель несократимой дробной части числа  $\ell/T_\mu$ .

Коэффициент  $q^{(p)}(\ell)$  подавления при фильтрации ошибок квантования определим как отношение величин  $r_2^{(p)}(\ell)$  и  $r_1^{(p)}(\ell)$  (см. (13) и (10)):

$$q^{(p)}(\ell) = \frac{\ell F^{(p)}(\ell) - 2k\ell F^{(p)}(\ell) + \ell^2 k^2}{[F^{(p)}(\ell)]^2 - 2k\ell F^{(p)}(\ell) + \ell^2 k^2}. \quad (15)$$

Анализ выражения (15) показывает, что при  $\ell = aT_\mu$  знаменатель становится равным нулю, а коэффициент подавления стремится к бесконечности.

Рассматривая поведение коэффициента  $q$  на главном интервале длины отрезка, получим соотношение

$$q^{(p)}(\ell) = \left(\frac{\ell}{L}\right)^2 q^{(p)}(L), \quad (16)$$

т. е. выигрыш в подавлении ошибок квантования растет пропорционально квадрату объема входной выборки, но с учетом тонкой структуры поведения величины  $q$  на главном интервале значений  $\ell$ .

При усреднении по начальным состояниям  $\rho$  отношение сигнал/помеха  $\bar{r}_2(\ell)$  на выходе фильтра и коэффициент подавления согласованного фильтра ошибок квантования  $\bar{q}(\ell)$  соответственно будут равны

$$\bar{r}_2(\ell) = \frac{\ell^2 T_\mu (1 + k^2)}{2 \sum_{\tau=1}^{\ell-1} \tau \eta(\ell - \tau) + \ell k T_\mu (1 - k\ell)}, \quad (17)$$

$$\bar{q}(\ell) = \left(\frac{\ell}{L}\right)^2 \bar{q}(L). \quad (18)$$

Из выражения (18) видно, что для определения коэффициента подавления ошибок квантования отрезка границы произвольной длины необходимо знать значения этого коэффициента на главном интервале длины границы.

#### ВЫВОДЫ

Показано, что код проквантованной прямолинейной границы представляет собой последовательность двух чисел с макропериодом, определяемым тангенсом угла наклона прямой.

Исследована зависимость ошибок квантования от угла наклона  $\varphi$  прямолинейной границы в пределах базового сектора  $0 \leq \varphi < \pi/4$ , достигающих максимального значения при угле  $22,48^\circ$  и совершенно отсутствующих при углах  $0^\circ$  и  $\pi/4$ .

Синтезирован фильтр, согласованный с линией прямолинейной границы до ее квантования. При ширине окна импульсной характеристики, равной величине макропериода кода, при фильтрации происходит полное подавление ошибок квантования.

Получены энергетические характеристики ошибок квантования на входе и выходе согласованного фильтра. Показано, что выигрыш в подавлении ошибок квантования растет пропорционально длине границы, но с учетом тонкой структуры процесса подавления ошибок квантования на главном интервале значений длины, равном макропериоду.

#### ПРИЛОЖЕНИЕ 1

**АКФ проквантованной прямолинейной границы изображения.** АКФ позволяет оценить влияние угла наклона границы и ошибок квантования на искажение этой границы до и после согласованной фильтрации кода границы. В работе [11] на основании выражения (5) для вероятности  $P_{1+i}^{(p)}(t)$  по-

$\tau$	$\eta(\tau)$	Интервал для $k = \operatorname{tg}\varphi$	$\tau$	$\eta(\tau)$	Интервал для $k = \operatorname{tg}\varphi$
0	$kT_\mu$	$0 \leq k < 1$	3	$T_\mu(2 - 2k)$	$2/3 < k \leq 0,75$
				$T_\mu(2k - 1)$	$0,75 < k < 1$
1	0	$0 \leq k \leq 0,5$	4	0	$0 \leq k \leq 0,2$
	$T_\mu(2k - 1)$	$0,5 < k \leq 1$		$T_\mu(5k - 2)$	$0,2 < k \leq 0,25$
2	0	$0 \leq k \leq 1/3$	$T_\mu(1 - 3k)$	$0,25 < k < 1/3$	
	$T_\mu(3k - 1)$	$1/3 < k \leq 0,5$	0	$1/3 \leq k \leq 0,4$	
	$T_\mu(1 - k)$	$0,5 < k \leq 2/3$	$T_\mu(5k - 2)$	$0,4 < k \leq 0,5$	
	$T_\mu(2k - 1)$	$2/3 < k < 1$	$T_\mu(2 - 3k)$	$0,5 < k \leq 0,6$	
3	0	$0 \leq k \leq 0,25$	$T_\mu(2k - 1)$	$0,6 < k < 2/3$	
	$T_\mu(4k - 1)$	$0,25 < k \leq 1/3$	$T_\mu(5k - 3)$	$2/3 \leq k \leq 0,75$	
	$T_\mu(1 - 2k)$	$1/3 < k \leq 0,5$	$T_\mu(3 - 3k)$	$0,75 < k \leq 0,8$	
	$T_\mu(4k - 2)$	$0,5 < k \leq 2/3$	$T_\mu(2k - 1)$	$0,8 < k < 1$	

лучено несколько представлений для АКФ последовательности значений  $P_{1+i}^{(p)}(t)$ . В таблице представлены выражения АКФ  $\eta(\tau)$  для значений  $\tau = 1, 2, 3, 4$ .

По мере роста  $\tau$  в представлении АКФ происходит сильное дробление интервалов для  $\eta(\tau)$ . Это приводит к громоздкой записи АКФ при больших  $\tau$ . Однако отсчеты, полученные для ограниченного количества значений аргумента, на основании приведенных ниже свойств АКФ позволяют получить достаточную информацию о всей функции: 1) максимальное значение  $\eta(\tau) = \eta(0) = n_{gr} = kT_\mu$ ; 2) периодичность  $\eta(\tau) = \eta(\tau \pm aT_\mu)$ ; 3) внутрипериодная симметрия  $\eta(\tau) = \eta(-\tau) = \eta(T_\mu - \tau)$ ; 4) непрерывность значений: АКФ  $\eta(\tau)$  принимает за макропериод каждое целое значение в интервале от 0 до  $n_{gr} = kT_\mu$ ; 5) сумма всех элементов АКФ за макропериод равна  $n_{gr}^2$ .

АКФ  $K(\tau)$  цепного кода проквантованной границы связана с АКФ  $\eta(\tau)$  соотношением вида  $K(\tau) = \eta(\tau) + T_\mu$ .

## ПРИЛОЖЕНИЕ 2

**Энергия среднего арифметического репрезентативных векторов ошибок квантования размерностью  $T_\mu$ .** Используя (1) и (7), получим

$$(\Psi^{(p)}, \Psi^{(\theta)}) = (\Gamma^{(p)} - A, \Gamma^{(\theta)} - A) = (\Gamma^{(p)}, \Gamma^{(\theta)}) - T_\mu - k^2 T_\mu.$$

Скалярное произведение  $(\Gamma^{(p)}, \Gamma^{(\theta)})$  равно отсчету АКФ  $K(\tau)$ ,  $\tau = |\rho - \varepsilon|$ , кода проквантованной границы. С учетом приложения 1 будем иметь

$$(\Psi^{(p)}, \Psi^{(\theta)}) = \eta|\rho - \theta| - k^2 T_\mu = \eta(\tau) - k^2 T_\mu. \quad (\text{П2.1})$$

Энергия среднего арифметического  $s, 1 \leq s \leq T_\mu$ , различных репрезентативных векторов ошибок квантования в общем случае равна квадрату нормы вектора среднего арифметического этих векторов:

$$G_h(s) = \left\| \frac{1}{s} \sum_{\rho=1}^s \Psi^{(\rho)} \right\|^2 = \frac{1}{s^2} \left( \sum_{\rho=1}^s \Psi^{(\rho)}, \sum_{\rho=1}^s \Psi^{(\rho)} \right) = \\ = \frac{1}{s^2} [s(\Psi^{(1)}, \Psi^{(1)}) + 2(s-1)(\Psi^{(1)}, \Psi^{(2)}) + \dots + 2(\Psi^{(1)}, \Psi^{(s)})]. \quad (\text{П2.2})$$

Последнее выражение найдено с учетом того, что скалярное произведение вектора ошибок квантования зависит лишь от модуля разности индексов сомножителей. Используя (П2.1), окончательно получим

$$G_h(s) = \frac{1}{s^2} \left[ 2 \sum_{\tau=1}^{s-1} \tau \eta(s-\tau) + skT_\mu(1-ks) \right]. \quad (\text{П2.3})$$

#### СПИСОК ЛИТЕРАТУРЫ

1. Розенфельд А. Распознавание и обработка изображений. М.: Мир, 1972.
2. Furman Y. A., Yanshin W. W. Extraction and linear filtering of closed polygonal contours of images // Pattern Recogn. and Image Analysis. 1994. 4, N 2. P. 148.
3. Фурман Я. А. Основы теории обработки контуров изображений: Уч. пособие для вузов. Йошкар-Ола: МарГТУ, 1997. С. 255.
4. Ефимов Н. В., Розендорн Э. Р. Линейная алгебра и многомерная геометрия. М.: Наука, 1974. С. 544.
5. Введение в цифровую фильтрацию /Под ред. Р. Богнера, А. Константинодиса: Пер. с англ. под ред. Л. И. Филиппова. М.: Мир, 1976. С. 215.
6. Лихарев В. А. Цифровые методы и устройства в радиолокации. М.: Сов. радио, 1967. С. 456.
7. Маркус М., Минк Х. Обзор по теории матриц и матричных неравенств: Пер. с англ. М.: Наука, 1972.
8. Фурман Я. А. Марковская модель процесса квантования прямолинейной границы изображений на квадратной сетчатке // ВИНТИ. 1987. № 6187-В87. С. 16.
9. Фурман Я. А., Яншин В. В. Многошаговые процедуры принятия решений. Красноярск: Изд-во Красноярского ун-та, 1992. С. 296.
10. Фурман Я. А., Егошина И. Л. Выделение контуров изображений с протяженными прямолинейными границами // Тр. конф. РОАИ-4-98. Ч. 1. Новосибирск: Изд. ИАиЭ СО РАН, 1998. С. 397.
11. Фурман Я. А. Аналитические представления и свойства автокорреляционной функции цепного кода прямолинейной границы изображений // ВИНТИ. 1987. № 6188-В87. С. 10.

*Поступила в редакцию 21 января 1999 г.*